

Semestrální zkouška ISS – 1. opravný termín, 25.1.2008, skupina A

Login:

Podpis:

Příklad 1 Spektrální funkce signálů $x_1(t)$ a $x_2(t)$ jsou:

$$X_1(j\omega) = \begin{cases} 2 & \text{pro } -1 \leq \omega \leq 1 \\ 0 & \text{jinde} \end{cases} \quad X_2(j\omega) = \begin{cases} 4 & \text{pro } -2 \leq \omega \leq 2 \\ 0 & \text{jinde} \end{cases}$$

Určete spektrální funkci $Y(j\omega)$ signálu $y(t)$, který je konvolucí: $y(t) = x_1(t) * x_2(t)$.

| | | | |
|---|---|-----|---|
| A | B | C | D |
| $\begin{cases} 8 & \text{pro } -1 \leq \omega \leq 1 \\ 0 & \text{jinde} \end{cases}$ | $\begin{cases} 8 & \text{pro } -2 \leq \omega \leq 2 \\ 0 & \text{jinde} \end{cases}$ | 8 | $\begin{cases} 8(\omega + 2) & \text{pro } -2 \leq \omega \leq -1 \\ 8 & \text{pro } -1 \leq \omega \leq 1 \\ 8(2 - \omega) & \text{pro } 1 \leq \omega \leq 2 \\ 0 & \text{jinde} \end{cases}$ |

Příklad 2 Vzorkovací frekvence je $F_s = 16000$ Hz. Výsledkem vzorkování a ideální rekonstrukce harmonického signálu $x(t)$ o frekvenci $f = 13000$ Hz (bez použití antialiasingového filtru) je:

| | | | |
|-------------------------------|-------------------------------|--------------------------------|------|
| A | B | C | D |
| signál s frekvencí 3000 Hz | signál s frekvencí 8000 Hz | signál s frekvencí 13000 Hz | nula |

Příklad 3 Vypočítejte lineární konvoluci dvou posloupností o délce 3:

$$x_1[n] = [3 \ 4 \ -1] \quad \text{a} \quad x_2[n] = [1 \ 1 \ 2]$$

$$[10 \quad \begin{matrix} A & 5 & 9 \end{matrix}] \left| \begin{matrix} B & 3 & 7 & 9 & 7 & -2 \end{matrix} \right| \begin{matrix} C & -2 & 3 & 7 & 9 & 7 \end{matrix} \left| \begin{matrix} D & 18 & 3 & 15 \end{matrix} \right.$$

Příklad 4 DFŘ reálného periodického signálu $\tilde{x}[n]$ s periodou 16 má v intervalu $k = 0 \dots 15$ pouze dva nenulové koeficienty: $\tilde{X}[2] = j$, $\tilde{X}[14] = -j$. Určete signál $\tilde{x}[n]$.

$$\tilde{x}[n] = \frac{1}{8} \cos\left(\frac{4\pi n}{16} + \frac{\pi}{2}\right) \left| \begin{matrix} A & \tilde{x}[n] = \frac{1}{8} \cos\left(\frac{2\pi n}{16} + \frac{\pi}{2}\right) \\ B & \text{signál není reálný} \end{matrix} \right| \begin{matrix} C & \text{signál není periodický} \end{matrix} \right| \begin{matrix} D & \text{signál není periodický} \end{matrix}$$

Příklad 5 Koeficient $X[2]$ diskrétní Fourierovy transformace signálu $x[n]$ o délce 8 má hodnotu $X[2] = 4j$. Určete, jakou bude mít hodnotu koeficient $Y[1]$ pro signál $y[n]$, který je kruhově posunutým signálem $x[n]$: $y[n] = R_8 x[\text{mod}_8(n - 1)]$

$$Y[1] = 2.82 + j2.82 \left| \begin{matrix} A & Y[1] = 4 \\ B & Y[1] = 2.82 - j2.82 \\ C & Y[1] \text{ se nedá určit} \end{matrix} \right| \begin{matrix} D & Y[1] \text{ se nedá určit} \end{matrix}$$

Příklad 6 Při průchodu komplexní exponenciály $A_1 e^{j\omega_1 t + \phi_1}$ LTI systémem, který má na frekvenci ω_1 hodnotu komplexní kmitočtové charakteristiky $H(j\omega_1) = j$

| | | | |
|---|--|---------------------------------------|--|
| A se změní kruhová frekvence ω_1 exponenciály | B se vynásobí počáteční fáze ϕ_1 dvakrát | C se zvětší amplituda na $2A_1$ | D se změní počáteční fáze na $\phi_1 + \frac{\pi}{2}$ |
|---|--|---------------------------------------|--|

Příklad 7 Číslicový filtr s přenosovou funkcí: $H(z) = 1 + 14z^{-1} + 0.25z^{-2}$ je

| | | | |
|---------------|-----------------|------------------------|-------------------------|
| A stabilní | B nestabilní | C na mezi stability | D nedá se rozhodnout |
|---------------|-----------------|------------------------|-------------------------|

Příklad 8 Funkce:

```
double ahoj(double x) {
    static double fff, ggg;  double y;
    y = x - 1.5 * ggg - 0.5 * fff;
    ggg = x;
    fff = y;
    return y;
}
```

implementuje:

| | | | |
|---|----------------------------|--------------------------------|---------------------------------|
| A drát (pouze kopíruje vstupní vzorky na výstup) | B nerekurzivní filtr | C čistě rekurzivní filtr | D obecně rekurzivní filtr |
|---|----------------------------|--------------------------------|---------------------------------|

Příklad 9 Pásmová propusť druhého rádu zpracovávající signály se vzorkovací frekvencí $F_s = 16000 \text{ Hz}$ má dva komplexně sdružené póly: $p_1 = j0.9$, $p_2 = -0.9j$

Maximum modulové frekvenční charakteristiky tohoto filtru je na frekvenci:

| | | | |
|--------------|--------------|--------------|--------------|
| A 1000 Hz | B 2000 Hz | C 3000 Hz | D 4000 Hz |
|--------------|--------------|--------------|--------------|

Příklad 10 Funkce $F(x, t) = \begin{cases} \frac{1}{2}(1 + \cos(\pi x)) & pro \quad -1 \leq x \leq 1 \\ 0 & jinde \end{cases}$ může být distribuční funkce:

| | | | |
|----------|---|--|---------|
| A ANO | B ANO pouze pro náhodné signály se spojitým časem | C ANO pouze pro náhodné signály s diskrétním časem | D NE |
|----------|---|--|---------|

Příklad 11 Je-li pro hodnota distribuční funkce stacionárního náhodného signálu pro x_1 a čas t_1 rovna $F(x_1, t_1) = 0.45$, pak pro $x_2 > x_1$ a $t_2 < t_1$ bude platit:

| | | | |
|---------------------------|------------------------------|-------------------------------|------------------------|
| A $F(x_2, t_2) < 0.45$ | B $F(x_2, t_2) \geq 0.45$ | C $F(x_2, t_2) = (0.45)^2$ | D zadání je nesmysl |
|---------------------------|------------------------------|-------------------------------|------------------------|

Příklad 12 Hodnoty náhodného signálu v čase $t = 4$ v pěti realizacích byly:

3.3818 3.3783 0.9247 1.6546 1.3493

Suborový odhad střední hodnoty je:

| | | | |
|-----------|-----------|-----------|-----------|
| A 1.13 | B 1.57 | C 2.13 | D 2.57 |
|-----------|-----------|-----------|-----------|

Příklad 13 Ve 4 realizacích $\xi_\omega[n]$ náhodného procesu s diskrétním časem byly pro $n = 0 \dots 7$ získány následující hodnoty vzorků (každý řádek je jedna realizace):

| | | | | | | | |
|---------|---------|---------|---------|---------|---------|---------|---------|
| 0.5218 | 1.4983 | 0.5218 | -1.3234 | -0.4191 | 0.1455 | -0.7147 | 0.2920 |
| -1.3522 | 0.2132 | -1.3522 | 1.3869 | 0.7516 | 0.7200 | -0.2044 | 0.4028 |
| 0.9091 | -1.2484 | 0.9091 | 1.2478 | 0.3060 | -0.7393 | 1.1204 | 0.0402 |
| 0.6980 | -0.2333 | 0.5000 | -1.2838 | 0.1602 | -0.6240 | 1.0739 | -0.4927 |

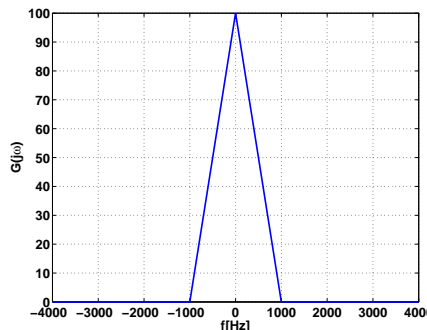
Jaký bude odhadnutý autokorelační koeficient $R(0, 2)$:

| | | | |
|----------------|--------------------|---------------------|-------------|
| A komplexní | B reálný kladný | C reálný záporný | D nulový |
|----------------|--------------------|---------------------|-------------|

Příklad 14 Pro $n = [0 \ 1 \ 2 \ 3]$ je dán náhodný signál s diskrétním časem: $x[n] = [-1 \ 1 \ 1 \ 1]$. Nevyhýlený odhad jeho autokorelačních koeficientů $R[k]$ pro $k \in [0, 3]$ je:

| | | | |
|----------------------------------|----------------------------------|-------------------------------|--------------------------------|
| A [1 0.25 0 -0.25] | B [1 -0.25 0 0.25] | C [1 0.33 0 -1] | D [1 -0.33 0 -1] |
|----------------------------------|----------------------------------|-------------------------------|--------------------------------|

Příklad 15 Na obrázku je spektrální hustota výkonu signálu se spojitým časem. Určete jeho celkový střední výkon.



| | | | |
|-----------|------------|-------------|-------------|
| A 1000 | B 50000 | C 100000 | D 200000 |
|-----------|------------|-------------|-------------|

Příklad 16 Gaussovský bílý šum se střední hodnotou $\mu = 1$ a směrodatou odchylkou $\sigma = 8$ prochází systémem s přenosovou funkcí $H(z) = 14$. Výstupní signál:

| | | | |
|-------------------|----------------|------------------------------------|--|
| A není náhodný | B je nulový | C má sousední vzorky korelované | D má konstantní spektrální hustotu výkonu pro všechny frekvence |
|-------------------|----------------|------------------------------------|--|

Příklad 17 Stacionární náhodný signál má funkci hustoty rozdělení pravděpodobnosti:

$$p(x) = \begin{cases} \frac{1}{20} & \text{pro } 50 \leq x \leq 150 \\ 0 & \text{jinde} \end{cases}, \text{ má tedy stejnosměrnou složku 100. Určete jeho střední výkon.}$$

| | | | |
|----------------|------------------|-----------------|--|
| A $P = 100$ | B $P = 10833$ | C $P = 9167$ | D funkce hustoty rozdělení pravděpodobnosti není správně zadána |
|----------------|------------------|-----------------|--|

Příklad 18 Zelení mužíci z Alfa Centauri mají k disposici počítače s tribity, které mohou nabývat 3 různých stavů (nikoliv dvou jako bity). O kolik se zlepší poměr signálu k šumu, pokud zvýšíme počet tribitů alfacentaurského kvantizéru o jeden tribit ?

| | | | |
|-------------|----------------|----------------|--------------------------|
| A o 6 dB | B o 8.52 dB | C o 9.54 dB | D zhorší se o 1.23 dB |
|-------------|----------------|----------------|--------------------------|

Příklad 19 Obrázek o rozměrech 256×256 pixelů $x[k, l]$ má jediný pixel $x[0, 1] = 1$, všechny ostatní jsou nulové (malá bílá tečka v levém horním rohu). Modul jeho dvourozměrné diskrétní Fourierovy transformace (2D-DFT) je:

| | | | |
|--|--|---|--|
| A $ X[m, n] = 0$ pro všechna m, n | B $ X[m, n] = 1$ pro všechna m, n | C $ X[0, 0] = 1$ $ X[m, n] = 0$ jinde | D $ X[0, 0] = \frac{1}{2}$ $ X[255, 255] = \frac{1}{2}$ $ X[m, n] = 0$ jinde |
|--|--|---|--|

Příklad 20 Z obrázku $x[k, l]$ o rozměrech 256×256 pixelů byl získán filtrováním pomocí masky 3×3 naprostě stejný obrázek. Určete, jaká byla použita maska.

| | | | |
|--|--|---|--|
| A $\begin{bmatrix} 1 & 0 & 1 \\ 0 & 1 & 0 \\ 1 & 0 & 1 \end{bmatrix}$ | B $\begin{bmatrix} 0 & 0 & 0 \\ 0 & 1 & 0 \\ 0 & 0 & 0 \end{bmatrix}$ | C $\begin{bmatrix} 1 & 2 & 1 \\ 0 & 0 & 0 \\ -1 & -2 & -1 \end{bmatrix}$ | D $\begin{bmatrix} 1 & 1 & 1 \\ 1 & 1 & 1 \\ 1 & 1 & 1 \end{bmatrix}$ |
|--|--|---|--|